SCIENTIA SINICA Physica, Mechanica & Astronomica

phys.scichina.com



论文

超重核 Z=117 同位素链的 α 衰变性质

张鹏[®], 张鸿飞^{®*}, 高远[®], 李君清^{®®}, 刘圳[®]

- ① 兰州大学核科学与技术学院, 兰州 730000;
- ② 中国科学院近代物理研究所, 兰州 730000
- *联系人, E-mail: zhanghongfei@lzu.edu.cn

收稿日期: 2011-08-18;接受日期: 2012-03-26; 网络出版日期: 2012-07-09 国家自然科学基金(批准号: 10775061, 10975064, 11175074, 11105035)和兰州大学创新创业行动计划项目资助

摘要 运用推广的液滴模型结合 WKB 方法对新合成超重核 ²⁹³117 和 ²⁹⁴117 及其α衰变链中各核素的半衰期进行系统性分析,理论计算得到的超重核半衰期与实验值符合得非常好. 说明推广的液滴模型可以成功研究超重核的半衰期. 本文还预测了 Z=117 同位素链上尚未合成的超重核的α衰变半衰期. 计算结果表明在 Z=117 同位素链中存在比已合成的 ²⁹³117 和 ²⁹⁴117 更稳定、寿命更长的超重核.

关键词 α 衰变,超重核,推广的液滴模型,半衰期

PACS: 23.60.+e, 27.90.+b, 21.60.Ev, 21.10.Tg

doi: 10.1360/132011-1162

从原子核的 α 衰变现象发现到 20 世纪 30 年代, α 衰变理论已经基本建立,人们知道 α 衰变现象是典型的量子位垒穿透问题,在理论上可以采用 WKB 方法较好的解决. 20 世纪 60 年代考虑了原子核壳模型预言了在电荷数 Z=114-126,中子数 N=184 附近存在一片寿命较长的核素,就是超重元素稳定岛[1].几十年来,在该领域不断地取得进展,不但合成了 110, 111和 112号元素,而且将超重元素的合成推到了 113—116[2-5],以及 118[6]号元素,而且最近合成 117[7]号元素。值得注意的是对 Z=117号超重核的合成截面,在实验之前已经作了系统地理论研究[8],对该实验起了很好的指导作用。对这些新合成超重核的性质进行详细的理论研究[9-12],一方面可以检验这些实验结果,另一方面通过理论计算与实验的对照比较,可以

完善现有的原子核理论模型. 该文运用推广的液滴模型(GLDM)结合 WKB 方法研究超重核的半衰期,在理论上合成超重核 ²⁹³117 和 ²⁹⁴117 的实验进行确认,判断推广的液滴模型研究超重核的可行性与合理性. 并在此基础上运用推广的液滴模型结合 WKB 方法预测 117 号元素α衰变链中各同位素半衰期,寻找该同位素链中长寿命核位置.

1 理论模型

1.1 推广的液滴模型

对于α衰变,有两种不同的观点. 一种是预形成结团模型(Preformed Cluster Model)^[13],另一种是超非对称裂变模型(Supersymmetric Fission Model)^[14-16].

引用格式: 张鹏, 张鸿飞, 高远, 等. 超重核 Z=117 同位素链的α衰变性质. 中国科学: 物理学 力学 天文学, 2012, 42: 941–947

Zhang P, Zhang H F, Gao Y, et al. Alpha decay properties of the Z=117 isotopes (in Chinese). Sci Sin-Phys Mech Astron, 2012, 42: 941–947, doi: 10.1360/132011-1162

最近的研究表明重核的 α 衰变过程倾向于第一种衰变模式 $^{[17]}$,即 α 粒子在母核内有一定预形成几率、接着以零点振动频率撞击位垒,最终有一定几率穿过位垒发生 α 衰变.

20 世纪 80 年代,法国核物理学家 Royer 提出准分子形状,在 α 衰变过程中引入了亲合能. 在原子核液滴模型的基础上考虑准分子形状机制和亲合能的贡献,就是推广的液滴模型(Generalized Liquid Drop Model)^[18–20].

在推广的液滴模型中,原子核的总能量表示为

$$E = E_{\rm V} + E_{\rm S} + E_{\rm C} + E_{\rm prox}, \tag{1}$$

式中 E_V , E_S 和 E_C 分别是原子核的体积能、表面能和库仑能, E_{prox} 是亲合能.

在通常的液滴模型中, 位能包括体积能 E_V 、表面能 E_S 和库仑能 E_C . 表面能 E_S 仅考虑表面张力的效应, 而不包括在脖子区或两个碰撞核之间、或两个分开碎片之间吸引核力的贡献. 引入亲和力就是要考虑这些附加的表面效应. 要强调的是在 GLDM 中, 亲和力考虑了脖子区域表面核子之间的强相互作用, 它与核的形状有关. 所以, 亲和能可以表示为

$$E_N = E_{\text{prox}} = 2\gamma \int_{h_{\text{min}}}^{h_{\text{max}}} \phi(D/b) 2\pi h dh, \qquad (2)$$

h为横向距离, D为脖子区子核表面和 α 粒子表面之间的距离, b 为面的宽度, 一般取 0.99 fm. ϕ 为 Feldmeier函数^[21], 表面参数 γ 为两个核表面参数的几何平均:

$$\gamma = 0.9517\sqrt{(1-2.6I_1^2)(1-2.6I_2^2)}$$
 MeV fm⁻², (3)
在两个核的接触点处,亲和能达到最大,在接触点的
两侧迅速减小为零.

对于α衰变, 亲合能的表达式可以写为[21]

$$E_{\text{prox}} = 4\pi \gamma e^{-x} \left[aA^{2/3} - \left(\frac{0.172}{A^{1/3}} + bA^{1/3} \right) r - cA^{1/3} r^2 + dr^3 \right], \tag{4}$$

式中 x=1.38r+ R_a + R_d , a=0.6584, b=0.4692, c=0.02548, d=0.01762, 其中 A 为母核质量数, r 为 α 粒子与子核质心距离.

在 α 衰变过程中,由于体积守恒, E_V 不影响势垒.引入亲和力后,库仑力和亲和力之间的平衡控制着位垒的高度和位置,可以降低位垒的高度并移动其位置,所以亲和力的引入对正确描述 α 衰变位垒非常关键.推广的液滴模型考虑了精确的原子核半径、质

量和电荷的不对称性、形变、亲和力等因素, 所以它能够描述原子核的裂变、熔合、α衰变、质子发射以及集团放射性^[22–24].

1.2 结合 WKB 方法计算衰变半衰期

原子核的α衰变常数定义为

$$\lambda = P_0 v_0 P,\tag{5}$$

其中 v_0 是零点振动频率, $v_0 = \frac{1}{2R} \sqrt{\frac{2E_\alpha}{M}}$; R 为母核的

半径, E_{α} 为 α 粒子的能量, M为 α 粒子的质量. P是穿透位垒的几率, 按照量子力学中的 WKB 近似, α 粒子的势垒贯穿概率为

$$P = e^{-G}, (6)$$

$$G = \frac{2}{\hbar} \int_{R}^{R_{\text{out}}} \sqrt{2B(r)(E(r) - E_{\text{sphere}}))} dr, \tag{7}$$

子核和 α 粒子分开之前,核的变形能(以球形核的能量为零点)比较小.同时做了以下近似:

$$R_{\rm in} = R_d + R_\alpha, \tag{8}$$

$$B(r) = \mu, \tag{9}$$

其中 μ 是子核和 α 粒子的约化质量, R_{out} 为 $\frac{e^2 Z_{\alpha} Z_{d}}{Q_{-}}$. R_{α}

和 R_d 是在保证衰变过程中原子核体积守恒条件下 α 粒子与子核的半径,分别取:

$$R_{J} = R_{0} (1 + \beta^{3})^{-1/3}, \tag{10}$$

$$R_{\alpha} = R_0 \beta (1 + \beta^3)^{-1/3}, \tag{11}$$

其中

$$\beta = \frac{1.28A_{\alpha}^{1/3} - 0.76 + 0.8A_{\alpha}^{-1/3}}{1.28A_{\alpha}^{1/3} - 0.76 + 0.8A_{\alpha}^{-1/3}},$$
(12)

 P_0 是 α 粒子在原子核内的预形成几率,采用最新拟合的解析公式^[25]:

$$\log P_0 = a + b(Z - Z_1)(Z_2 - Z) + c(N - N_1)(N_2 - N) + dA,$$
(13)

其中 Z为电荷数, N为中子数, A 为母核质量数, Z_1 和 Z_2 为质子幻数(Z_1 <Z< Z_2), N_1 和 N_2 为中子幻数(N_1 < N_2), a-d 为参数, 由原子核的微观结构决定, 如下表 1 所示. α 粒子在母核内预形成机制的研究, 原则上应该从核多体理论出发, 目前还没有很好解决, 很难给出预形成因子的定量结果. 本课题组近期拟合实验提取的预形成因子而得到了(13)式所示的经验公式, 是母核的质子数 Z 和中子数 N 的函数. 在拟合参数时发

Table 1 The paramete	i table mai calculated the pi	erormation ractor through eq	. (13)	
		Odd-A nucleus		
	50 <z<82< th=""><th>82<z< th=""><th>82<z< th=""><th>82<z< th=""></z<></th></z<></th></z<></th></z<82<>	82 <z< th=""><th>82<z< th=""><th>82<z< th=""></z<></th></z<></th></z<>	82 <z< th=""><th>82<z< th=""></z<></th></z<>	82 <z< th=""></z<>
	82 <n<126< th=""><th>82<<i>N</i><126</th><th>126<<i>N</i><152</th><th>152<<i>N</i></th></n<126<>	82< <i>N</i> <126	126< <i>N</i> <152	152< <i>N</i>
a	6.194819	-17.70253	9.584417	-1196.707
b	0.005354	0.091751	0.147407	-5.273438
c	0.006363	0.004019	0.020438	-5.003726
d	-0.069859	0.059800	-0.076871	5.103626
$\sqrt{\sigma^2}$	0.670	0.850	1.608	1.601
		Odd-odd nucleus	S	
а	12.18941	-50.85612	22.07726	-9157.626
b	-0.006942	0.136975	0.357635	-38.89009
С	-0.002655	0.013371	0.027708	-39.16380
d	-0.084889	0.205916	-0.146806	39.09218
$\sqrt{\sigma^2}$	0.696	0.811	1.876	1.409

表 1 采用公式(13)计算预形成因子的参数表

Table 1. The parameter table that calculated the preferencian factor through as (12)

现, 若采用统一的参数(即对所有原子核, 参数 a-d 取 相同数值), 很难符合从实验提取的原子核的预形成因 子. 后来采用对不同质量区域原子核采用不同参数时, 得到了与实验提取的预形成因子符合很好的结果[25]. 该分区是依据原子核的质子与中子幻数进行的(质子 幻数取为 Z=50,82, 中子幻数为 N=50,82,126 和 152; 在 Z=82 或者 N=152 后进一步假定核子幻数, 例如: Z=114, N=184 时, 不会给出更好的拟合结果). 一方面 说明了预形成因子与原子核的微观结构紧密相关. 另 一方面也表明从微观理论自洽计算阿尔法粒子预形成 因子的复杂性. 由于该公式的参数拟合了合成 Z=117 号元素以前所有重核以及超重核的实验结果, 预期对 超重核 Z=117 号超重核同位素链上原子核的 α 粒子预 形成因子能够给出合理的结果.

通过(5)式可以算出λ,利用

$$T_{1/2} = \frac{\ln 2}{\lambda},\tag{14}$$

计算出 α 衰变的半衰期. 平均寿命为

$$\tau = \frac{T_{1/2}}{\ln 2}.\tag{15}$$

2 理论计算结果与分析

2.1 ²⁹³**117** 与 ²⁹⁴**117** 衰变链上核的α衰变平均寿命

运用 GLDM 方法计算得到的理论平均寿命与利 用密度依耐的 M3Y 模型(DDM3Y)计算得到的平均寿 命及实验值的比较列在表 2 中, 第 1 列和第 2 列分别 为 α 衰变链的质量数和质子数、第3列和第4列分别为 α 衰变链上 α 粒子动能与衰变能的实验值. 第 5 列, 第 6 列和第 7 列分别是平均寿命的实验值、运用密度依 赖的 M3Y(DDM3Y)模型[26]及推广的液滴模型计算得 到的平均寿命.

对表2中不同模型(M3Y与GLDM)计算得到的平 均寿命比较分析可以发现, 推广的液滴模型计算值对 衰变能的变化敏感程度与 DDM3Y 对衰变能变化的敏 感程度相似,说明 α 衰变能对确定原子核 α 衰变半衰期 至关重要.

另外, GLDM 的计算结果在整体上和已知的理论 预测值[27](*表示)符合的很好,特别对奇 A 核的理论计 算几乎完全再现了实验结果.衰变能为 9.74 MeV 时对 ²⁸⁵113 的计算结果与实验符合很完美, 与 DDM3Y 的 理论计算符合也很好. 从表 2 中质子数 Z= 109-117 号 元素中相应核素的半衰期的实验值和理论预测值的大 小变化可以看出, 在 Z=113 附件可能存在超重核的稳 定岛,说明我们的理论计算非常接近真实数据.但 ²⁸²111 的计算所得平均寿命远远大于实验观察值, 从 模型对衰变能的敏感程度来看,可能衰变能的取值需 要在实验上进一步更精确地测量. 而 278109 的计算结 果却远小于实验观测值, 却和 DDM3Y 理论的计算结 果符合的很好,可能有同核异能素的存在,需要进一 步的理论探索与实验验证.

整体来看,推广的液滴模型计算得到的平均寿命 与实验值较 DDM3Y 更加吻合, 可见 GLDM 用于研究 超重核的衰变是十分成功的.

表 2 293117 和 294117 及其衰变链中各核的平均寿命与实验值的比较

Table 2 Comparisons between observed $(\tau^{\text{expt}})^{[7]}$ and theoretical α -decay lifetimes $(\tau^{M3})^{\gamma}$, τ^{GLDM}) using measured and calculated Q_{α}

母核 A	母核 Z	$E_{\alpha}^{\exp t}$ (MeV)	$Q_{\alpha} ({ m MeV})$	$ au^{\mathrm{exp}t}$	$ au^{M3Y}$	$ au^{ ext{GLDM}}$
293	117	11.03(8)	11.19(8)	21 ms	4.1 ^{+2.3} _{-1.5} ms	46.0 ^{+27.1} _{-16.9} ms
293	117	*11.26	11.42	*10 ms	1.2 ms	13.0 ms
289	115	10.31(9)	10.46(9)	0.32 s	$65^{+47}_{-27} \text{ ms}$	$0.82^{+0.63}_{-0.35} \ s$
289	115	*10.48	10.63	*0.22 s	23 ms	0.29s
285	113	9.48(11)	9.62(11)	7.9 s	$3.0^{+3.4}_{-1.6}$ s	47.13 ^{+55.34} _{-25.18} s
285	113	9.74(8)	9.89(8)	7.9 s	$530^{+366}_{-213} \text{ ms}$	$7.4^{+5.3}_{-3.0}$ s
285	113	*9.96	10.11	*1.2 s	0.13 s	1.7 s
294	117	10.81(10)	10.97(10)	112 ms	$52^{+46}_{-23} \text{ ms}$	34.5 ^{+28.1} _{-15.3} ms
294	117	*11.00	11.16	*45 ms	18 ms	11.3 ms
290	115	9.95(40)	10.10(10)	0.023 s	$2.43^{+33.18}_{-2.24} \text{ s}$	$2.4^{+2.3}_{-1.2} \text{ s}$
290	115	*10.23	10.38	*1.0 s	0.40 s	0.39 s
286	113	9.63(10)	9.77(10)	28.3 s	$4.2^{+4.0}_{-2.0} \text{ s}$	$6.2^{+6.2}_{-3.0} \text{ s}$
286	113	*9.56	9.7	*16 s	6.7 s	10.1 s
282	111	9.00(10)	9.13(10)	0.74 s	$70.1^{+77.3}_{-35.9} \text{ s}$	$165.6^{+186.3}_{-86.6}\mathrm{s}$
282	111	*9.43	9.57	*8.1 s	3.4 s	6.9 s
278	109	9.55(19)	9.70(19)	11.0 s	$0.3^{+0.8}_{-0.2}$ s	$0.87^{\tiny{+2.0}}_{\tiny{-0.6}}~\text{s}$
278	109	*9.14	9.28	*13 s	5.0 s	14.6 s
274	107	8.80(10)	8.94(10)	1.3 min	$11.3^{+12.1}_{-5.9}$ s	$44.6^{+49.2}_{-23.2} \text{ s}$
274	107	*8.43	8.56	*7.4 min	3.02 min	13.5 min

^{*}表示数据采用的是新元素合成前 Sobiczewski^[27]所做的理论预测值

2.2 对 Z=117 同位素链半衰期的理论预言

通过推广的液滴模型可以对尚未合成的超重核的半衰期进行预测. 本文对 Z=117 同位素链的半衰期做了理论预言,衰变能 Q_{α} 采用不同模型[MS], [M]与[KUTY]数据^[28]. 值得注意的是 α 衰变能是原子核 α 衰变性质中最为重要的物理量. α 衰变能随同位素链的变化规律直接反映原子核的微观结构性质. α 衰变半衰期对衰变能非常敏感,对同一原子核其他物理因素完全相同的情况下,衰变能相差 1 MeV 时,半衰期相差一千倍左右. 最近文献[28]的系统计算表明,由 Muntian-Patyk-Hofmann-Sobiczewski(简称[M]数据)、Myers-Swiatecki(简称为[MS]数据)以及 Koura-Tachibana-Uno-Yamada (简称为[KTUY]数据)给出的原子核 α 衰变能,在重核以及超重核区,能够与实验结果系统符合,所以将采用这几种模型给出的 α 衰变能来计算 Z=117 同位素链上原子核的 α 半衰期.

表 3 是运用推广的液滴模型计算得到的结果. 为了更直观的显示计算结果以便于观察推测, 将结果绘

制成图 1. 从图可以看到, 不同模型下的衰变能 O_{α} 值 随中子数 N 改变的变化趋势基本一致, 半衰期对数随 中子数增加的变化趋势也比较一致. 我们知道, 衰变 能较大的原子核更容易衰变, 因而其半衰期较小. 图 1 中 N=178(A=295)与 N=184(A=301)处半衰期相对较 大,均大于 ²⁹³117 和 ²⁹⁴117 的半衰期,且 N=184 前后 有显著的升降, 说明 Z=117 中存在更长寿命同位素. 根据核结构的壳模型的理论预言, N=184 是中子幻数, 此处的原子核比较稳定. 又原子核壳模型预言, 质子 数 Z=114 且中子数 Z=184 的原子核(A=298)是双幻核, 该核及其附件的一些核可能具有相当大的稳定性, 这 和我们的理论计算结果相符合. 另外, 图 1 中可以看 出中子数为偶数时的原子核衰变半衰期普遍大于相邻 的中子数为奇数时的半衰期. 对于目前已知的 259 种 稳定的核素统计结果中, 奇偶核占 19.31%, 奇奇核只 有 1.93%, 可见奇偶核较奇奇核更稳定, 这被当前 GLDM 的计算结果作了很好的印证. 另外, 采用 3 种 不同模型的 α 衰变能计算得到的半衰期尽管趋势一致, 但大小相差 2 个数量级以上. 充分说明非常有必要进

表 3	在不同	模型下	衰变能	Q_{α} 值通	过 GLDM	[计算	得到的	的半衰期	月
				GT D	0.1100	0 .		11.00	

Table 3 Half-life calculated by GLDM of different Q_{α} that under different models

		•	~ u				
A	N	$Q_{th}^{MS}({ m MeV})$	$T_{1/2}(S)$	$Q_{th}^{M}(\text{MeV})$	$T_{1/2}(S)$	$Q_{th}^{\mathrm{KUTY}}(\mathrm{MeV})$	$T_{1/2}(S)$
289	172	12.2	2.81576×10 ⁻⁴	11.75	2.60904×10^{-3}	11.155	6.51852×10 ⁻²
290	173	12.14	4.71997×10^{-5}	11.61	6.81868×10^{-4}	11.045	1.53883×10^{-2}
291	174	11.94	7.68671×10^{-4}	11.58	4.92068×10^{-3}	10.895	2.26659×10^{-1}
292	175	11.93	1.34867×10^{-4}	11.42	1.91648×10^{-3}	10.815	6.01944×10^{-2}
293	176	11.91	7.03763×10^{-4}	11.53	5.01978×10^{-3}	10.725	4.88536×10^{-1}
294	177	11.9	1.47414×10^{-4}	11.43	1.74633×10^{-3}	10.685	1.33400×10^{-1}
295	178	11.8	8.65739×10^{-4}	11.4	7.31973×10^{-3}	10.585	8.88457×10^{-1}
296	179	11.59	7.34499×10^{-4}	11.26	4.45731×10^{-3}	10.685	1.33503×10^{-1}
297	180	11.97	2.76940×10^{-4}	11.38	6.09758×10^{-3}	10.805	1.70560×10^{-1}
298	181	12.16	4.18481×10^{-4}	11.36	2.67152×10^{-3}	10.735	1.02344×10^{-1}
299	182	12.25	5.46608×10^{-5}	11.35	5.57905×10^{-3}	10.675	2.91562×10^{-1}
300	183	12.35	1.84575×10^{-5}	11.31	3.72342×10^{-3}	10.635	2.00623×10^{-1}
301	184	12.35	2.70407×10^{-5}	11.29	6.08474×10^{-3}	10.545	5.19478×10^{-1}
302	185	12.96	1.31767×10^{-6}	12.34	2.09464×10^{-5}	11.365	2.95466×10^{-3}
303	186	12.87	2.06546×10^{-6}	12.08	7.62090×10^{-5}	12.085	7.43930×10^{-5}

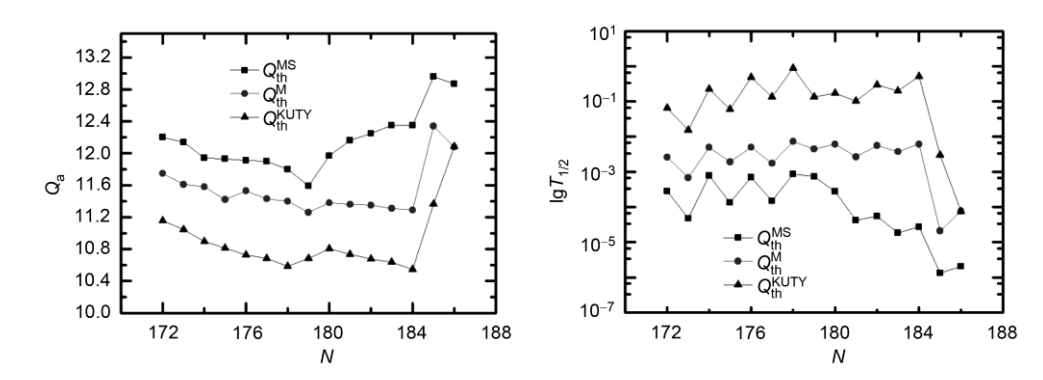


图 1 不同模型计算的衰变能 Q_{α} 及其对应半衰期 $T_{1/2}$ 的对数随中子数 N 的变化

Figure 1 The Decay energy Q_a under different models and the corresponding half-life $T_{1/2}$ with neutron number N.

一步发展理论以更为准确可靠地给出原子核的α衰变能,从而更为合理地预言超重核的α衰变半衰期.

3 结论

推广的液滴模型是 20 世纪 80 年代由法国核物理学家 Royer 提出的,它最初是用来研究原子核裂变的.在过去的一段时间,国内外核物理学家研究重核与超重核 α 衰变获得了成功.表明推广的液滴模型是研究 α 衰变非常有效的方法.本文通过对近年来新合成的超重核 294 117 和 293 117 其 α 衰变链中各核素的半衰期计算以及对 Z=117 同位素链上尚未合成的核素的半衰期的理论预测,得到了以下结论:

(i) 运用推广的液滴模型对超重核 ²⁹⁴117 和 ²⁹³117

及其α衰变链中的各核素的性质进行了研究, 计算了这些核的半衰期, 并与实验值进行了比较. 结果表明, 在考虑亲合能的情况下, 理论计算值与实验值符合得很好, 且总体上要比 DDM3Y 模型的计算结果好, 这说明推广的液滴模型能够成功研究超重核的α衰变性质.

(ii) 预测了 Z=117 同位素链上尚未合成的超重核的半衰期. 计算结果表明在 Z=117 中存在长寿命同位素, 可能位置在 N=178 或 N=184. 可以为实验核物理学家今后合成超重核提供一定理论参考.

通过上述的研究可以看出,作为宏观模型的推广的液滴模型没有考虑一些微观因素(如壳修正)对 α 衰变势垒的影响. 今后将考虑这些微观因素对原子核 α 衰变位垒的影响, 更为精确地研究原子核的 α 衰变性质.

致谢 张鹏感谢杨少丹学长和李雪伊同学的热心帮助.

参考文献

- 1 Sobiczewski A, Gareev F A, Kalinkin B N, et al. Closed shells for Z > 82 and N > 126 in a diffuse potential well. Phys Lett, 1966, 22(4): 500–502.
- 2 Oganessian Y T, Utyonkoy V K, Lobanov Y V, et al. Experiments on the synthesis of element 115 in the reaction ²⁴³Am(⁴⁸Ca,xn)^{291-x}115. Phys Rev C, 2004, 69: 021601
- 3 Morita K, Morimoto K, Kaji D, et al. Experiment on the synthesis of element 113 in the reaction ²⁰⁹Bi(⁷⁰Zn, n)²⁷⁸113. J Phys Soc Jpn, 2004, 73: 2593–2596
- 4 Oganessian Y T, Yeremin A V, Popeko A G, et al. Synthesis of nuclei of the superheavy element 114 in reactions induced by ⁴⁸Ca. Nature, 1999, 400: 242–245
- 5 Oganessian Y T, Utyonkoy V K, Lobanov Y V, et al. Observation of the decay of 292116. Phys Rev C, 2000, 63: 011301
- 6 Oganessian Y T, Utyonkov V K, Lobanov Y V, et al. Synthesis of the isotopes of elements 118 and 116 in the ²⁴⁹Cf and ²⁴⁵Cm+⁴⁸Ca fusion reactions. Phys Rev C, 2006, 74: 044602
- 7 Oganessian Y T, Abdullin F S, Bailey P D, et al. Synthesis of a new element with atomic number Z=117. Phys Rev Lett, 2010, 104: 142502
- 8 Liu Z H, Bao J D. Optimal reaction for synthesis of superheavy element 117. Phys Rev C, 2009, 80: 034601
- 9 Qian Y B, Ren Z Z, Ni D D. Calculations of α-decay half-lives for heavy and superheavy nuclei. Phys Rev C, 2011, 83: 044317
- 10 Pei J C, Xu F R, Lin Z J, et al. α-decay calculations of heavy and superheavy nuclei using effective mean-field potentials. Phys Rev C, 2007, 76: 044326
- 11 Zhang G L, Le X Y, Zhang H Q. Calculations of α preformation for nuclei near N=162 and N=184. Phys Rev C, 2009, 80: 064325
- 12 Zhang H F, Royer G. Theoretical and experimental α -decay half-lives of the heaviest odd-Z elements and general predictions. Phys Rev C, 2007, 76: 047304
- 13 Malik S S, Gupta R K. Theory of cluster radioactive decay and of cluster formation in nuclei. Phys Rev C, 1989, 39: 1992-2000
- 14 Poenaru D N, Ivascu M. 5He radioactivity. J Phys (France), 1984, 45: 1099-1106
- 15 Poenaru D N, Greiner W, Depta K, et al. Calculated half-lives and kinetic energies for spontaneous emission of heavy ions from nuclei. Atom Data Nucl Data Tables, 1986, 34(3): 423–538
- 16 Poenaru D N, Schnabel D, Greiner W, et al. Nuclear lifetimes for cluster radioactivities. Atom Data Nucl Data Tables, 1991, 48: 231-327
- 17 Zhang H F, Royer G, Li J Q. Assault frequency and preformation probability of the α emission process. Phys Rev C, 2011, 84: 027303
- 18 Zhang H F, Zuo W, Li J Q, et al. α decay half-lives of new superheavy nuclei within a generalized liquid drop model. Phys Rev C, 2006, 74: 017304
- 19 Royer G. Alpha emission and spontaneous fission through quasi-molecular shapes. J Phys G-Nucl Part Phys, 2000, 26: 1149-1170
- 20 Royer G, Gupta R K, Denisov V Y. Cluster radioactivity and very asymmetric fission through compact and creviced shapes. Nucl Phys A, 1998, 632(2): 275–284
- 21 Feldmeier H. Nuclear structure study by means of nuclear reactions. In: Proc. 12th Summer School on Nuclear Physics. Polan: Mikolajki, 1979
- 22 Chen B Q, Ma Z Y, Rong J, et al. Formation and Decay of Superheavy Elements (in Chinese). Nucl Phys Rev, 2003, 20(2): 102–110 [陈宝秋, 马中玉, 荣健, 等. 超重核的生成和衰变. 原子核物理评论, 2003, 20(2): 102–110]
- 23 Zhang H F, Dong J M, Royer G, et al. Preformation of cluster in heavy nuclei and cluster radioactivity. Phys Rev C, 2009, 80: 037307
- 24 Zhang H F, Royer G. α particle preformation in heavy nuclei and penetration probability. Phys Rev C, 2008, 77: 054318
- 25 Zhang H F, Royer G, Wang Y J, et al. Analytic expressions for alpha particle preformation in heavy nuclei. Phys Rev C, 2009, 80: 057301
- 26 Chowdhury P R. Gangopadhyay G, Bhattacharyya A. Stability against α decay of some recently observed superheavy elements. Phys Rev C, 2011, 83: 027601
- 27 Sobiczewski A. Predictions for nuclei of a new element 117. Acta Phys Pol B, 2010, 41: 157-164
- 28 Chowdhury P R, Samanta C, Basu D N. Nuclear half-lives for α -radioactivity of elements with $100 \le Z \le 130$. Atom Data Nucl Data Tables, 2008, 94: 781–806

Alpha decay properties of the Z=117 isotopes

ZHANG Peng¹, ZHANG HongFei^{1*}, GAO Yuan¹, LI JunQing^{1,2} & LIU Zhen¹

¹ School of Nuclear Sciences and Technology, Lanzhou University, Lanzhou 730000, China; ² Institute of Modern Physics, Chinese Academy of Sciences, Lanzhou 730000, China

With the Generalized Liquid Drop Model (GLDM) combined with WKB approximation, we give a systematic analysis for the half-lives of the newly observed superheavy nuclei $^{293}117$ and $^{294}117$ isotopes and α -decay products. The calculated half-lives of superheavy nuclei coincide with the experimental data very well, implying the success of the Generalized Liquid Drop Model for studying the α -decay properties of superheavy nuclei. We also predict the half-lives of superheavy nuclei of Z=117 isotopes which are not synthesized. The results show that in the Z=117 isotopes existing more stable superheavy nuclei than the observed $^{293}117$ and $^{294}117$.

alpha decay, superheavy nuclei, generalized liquid drop model, half-life

PACS: 23.60.+e, 27.90.+b, 21.60.Ev, 21.10.Tg

doi: 10.1360/132011-1162